



Engenharia de Controle e Automação

Controle Preditivo



**Prof. Dr.
Paulo J. D. O. Evald**



Prof. Dr.
Paulo J. D. O. Evald



Centro de Engenharias
Sala 211



paulo.evald@ufpel.edu.br

“ Objetivos da aula:

- Receding Horizon Control
 - Formulação;
 - Implementação;
 - Simulação.



Receding Horizon Control

Embora o vetor de parâmetro ótimo ΔU contenha as ações de controle $\Delta u(k)$, $\Delta u(k+1)$, $\Delta u(k+2)$, . . . , $\Delta u(k+N_c-1)$, com o princípio do *Receding Horizon Control (RHC)*, implementa-se apenas a primeira amostra desta sequência, ou seja, $\Delta u(k)$;

No próximo período de amostragem, a medida mais recente é tomada para formar o vetor de estado $x(k+1)$ para cálculo da nova sequência do sinal de controle;

Este procedimento é repetido em tempo real com intuito de otimizar a ação de controle baseado na estimação do comportamento do sistema em malha fechada.

Receding Horizon Control

Lembrando que

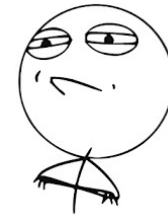
$$\Delta U = (\Phi^T \Phi + \bar{R})^{-1} \Phi^T (R_s - Fx(k_i))$$

e

$$\Delta u(k) = u(k) - u(k-1)$$

Receding Horizon Control

Simulação



Receding Horizon Control

Implementar um RHC para a seguinte planta discreta

$$\begin{aligned}x_m(k+1) &= \begin{bmatrix} 1 & 1 \\ 0 & 1 \end{bmatrix} x_m(k) + \begin{bmatrix} 0.5 \\ 1 \end{bmatrix} u(k) \\ y(k) &= \begin{bmatrix} 1 & 0 \end{bmatrix} x_m(k).\end{aligned}$$

Considerando um horizonte de controle $N_c = 4$, um horizonte de predição $N_p = 20$ e $r_w = 0,1$;

Assuma que as condições iniciais são nulas e a referência é um degrau unitário;

Em seguida, altere r_w para 20 e 200 e avalie o impacto na resposta do sistema.

Receding Horizon Control

% Planta

$A_p = \begin{bmatrix} 1 & 1; & 0 & 1 \end{bmatrix};$

$B_p = \begin{bmatrix} 0.5; & 1 \end{bmatrix};$

$C_p = \begin{bmatrix} 1 & 0 \end{bmatrix};$

$D_p = 0;$

% Parâmetros do RHC

$N_p = 20;$

$N_c = 4;$

$rw = 0.1;$

% Modelo em espaço de estados aumentado

$[\Phi_{\Phi}, \Phi_F, \Phi_R, B_e] = \text{mpcgain}(A_p, B_p, C_p, N_c, N_p);$

$[n_{\text{lin}}, n_{\text{col}}] = \text{size}(B_e);$ % Para salvar ordem do modelo aumentado

$x_m = \begin{bmatrix} 0; 0 \end{bmatrix};$ % Condição inicial do sistema

$X_f = \begin{bmatrix} 0; 0; 0 \end{bmatrix};$ % Variável de realimentação de estados aumentada

$N_{\text{amostras}} = 100;$ % Número de amostras

$R = \text{ones}(N_{\text{amostras}}, 1);$ % Referência

$u(1) = 0;$ % Para ter continuidade no plot

$y(1) = 0;$ % Para ter continuidade no plot

$r(1) = 0;$ % Para ter continuidade no plot

Receding Horizon Control

% No tempo de amostragem k , o vetor ΔU é calculado usando a referência $r(k)$ e o vetor de estado X_f . Então, $\Delta u(k)$ é tomado como o primeiro elemento de ΔU e $u(k) = u(k-1) + \Delta u(k)$.

for $k = 2 : N_{\text{amostras}}$

$r(k) = 1;$ % Referência

$R_{\text{barra}} = r_w \cdot \text{eye}(N_c, N_c);$

$\Delta U = \text{inv}(\Phi_{\text{Phi}} + R_{\text{barra}}) \cdot (\Phi_R \cdot r(k) - \Phi_F \cdot X_f);$ % Predição de controle

$\text{deltau} = \Delta U(1,1);$ % Implementa apenas a primeira ação de controle predita

$u(k) = u(k-1) + \text{deltau};$ % Ação de controle

Receding Horizon Control

% Os estados e a saída da planta são simulados usando o sinal de controle gerado. A variável de estado usada no mecanismo de feedback é atualizada como X_f .

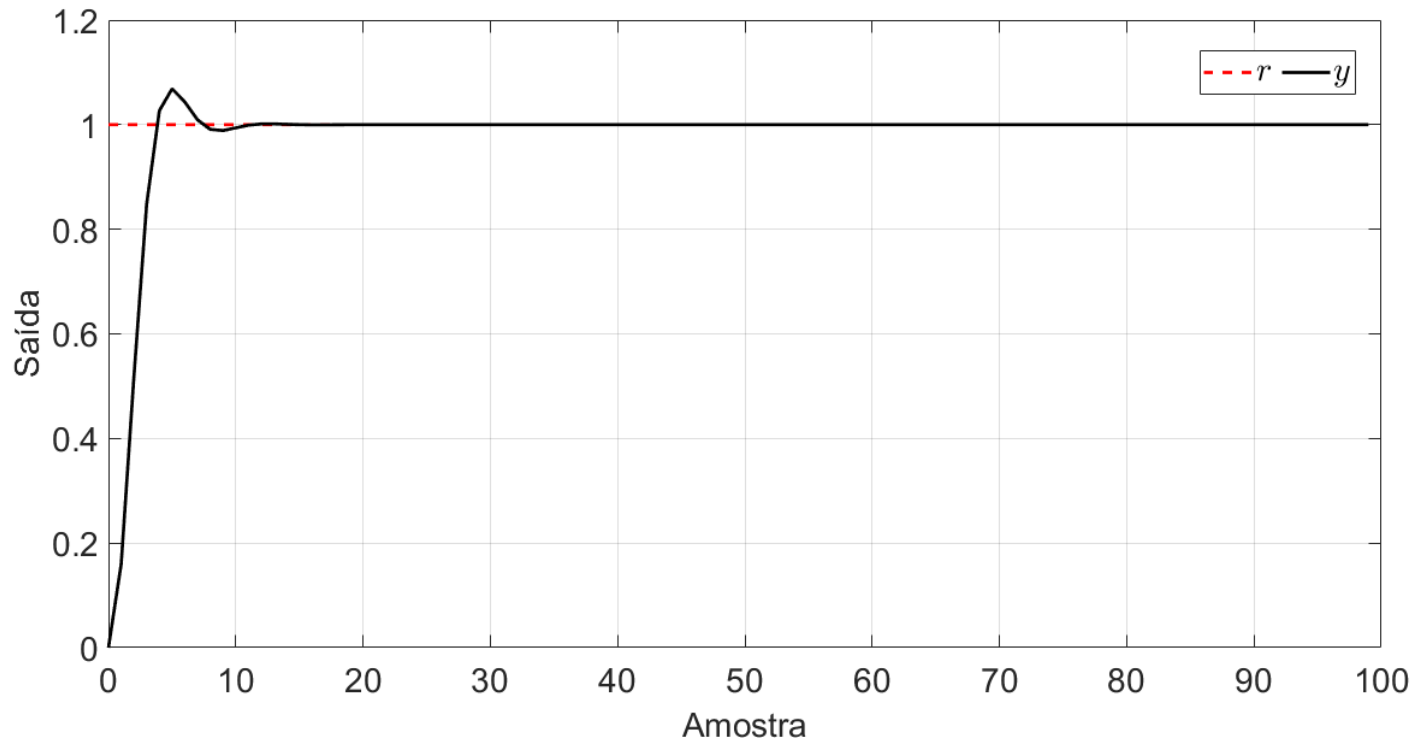
$x_m(1:2,k) = A_p \cdot x_m(1:2,k-1) + B_p \cdot u(k);$ % Note que a planta em questão já é discreta

$y(k) = C_p \cdot x_m(1:2,k);$ % Logo, não se aplica o método de Euler

$X_f = [x_m(1:2,k) - x_m(1:2,k-1); y(k)];$ % Mecanismo de feedback

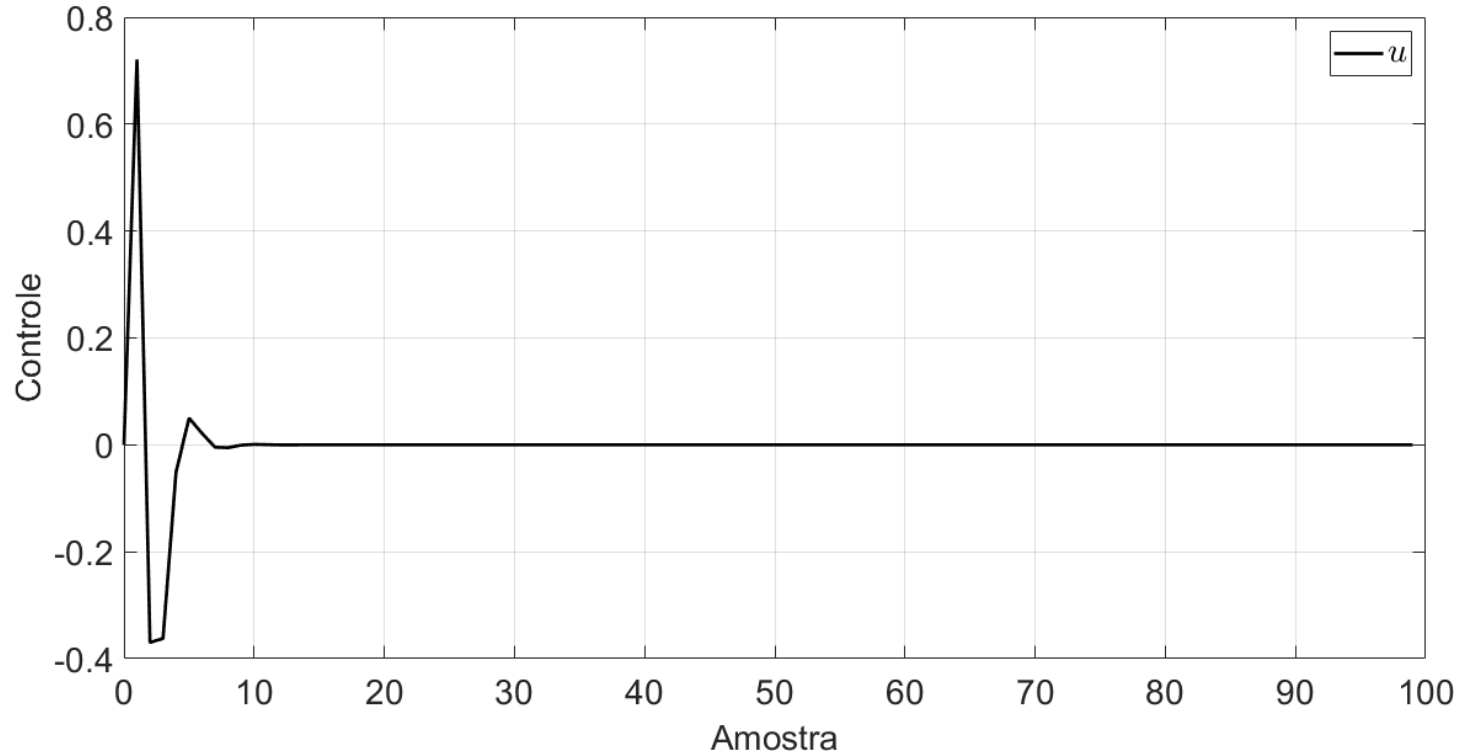
end

Receding Horizon Control



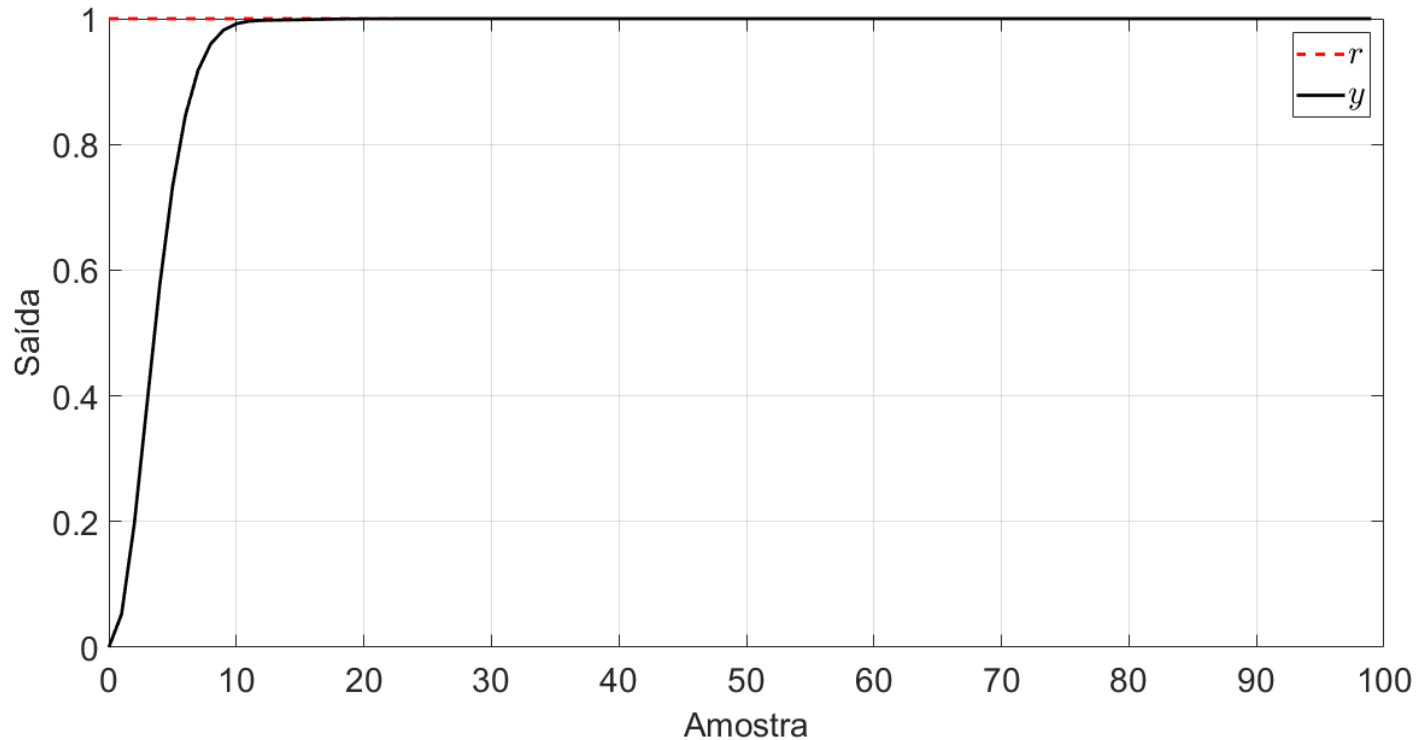
$rw = 0,1$

Receding Horizon Control



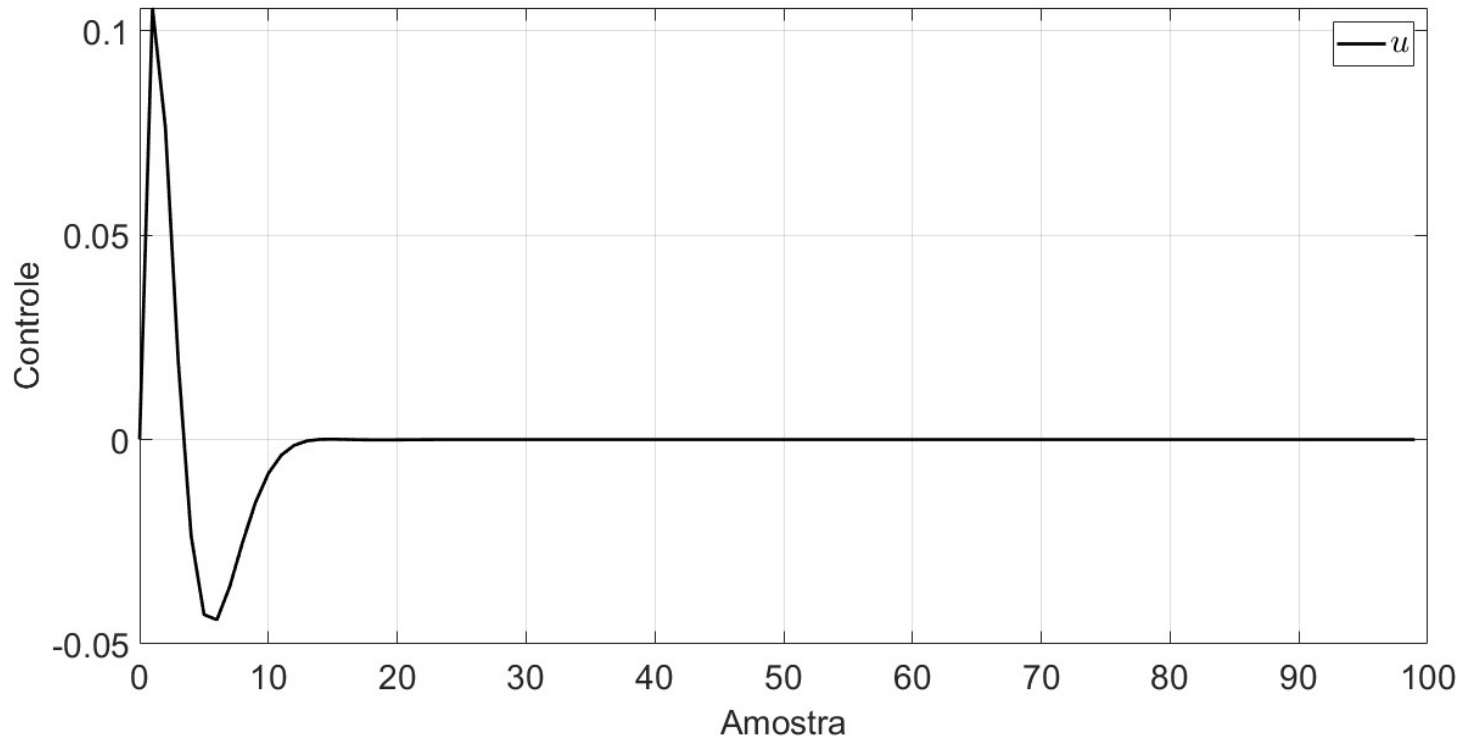
$rw = 0,1$

Receding Horizon Control



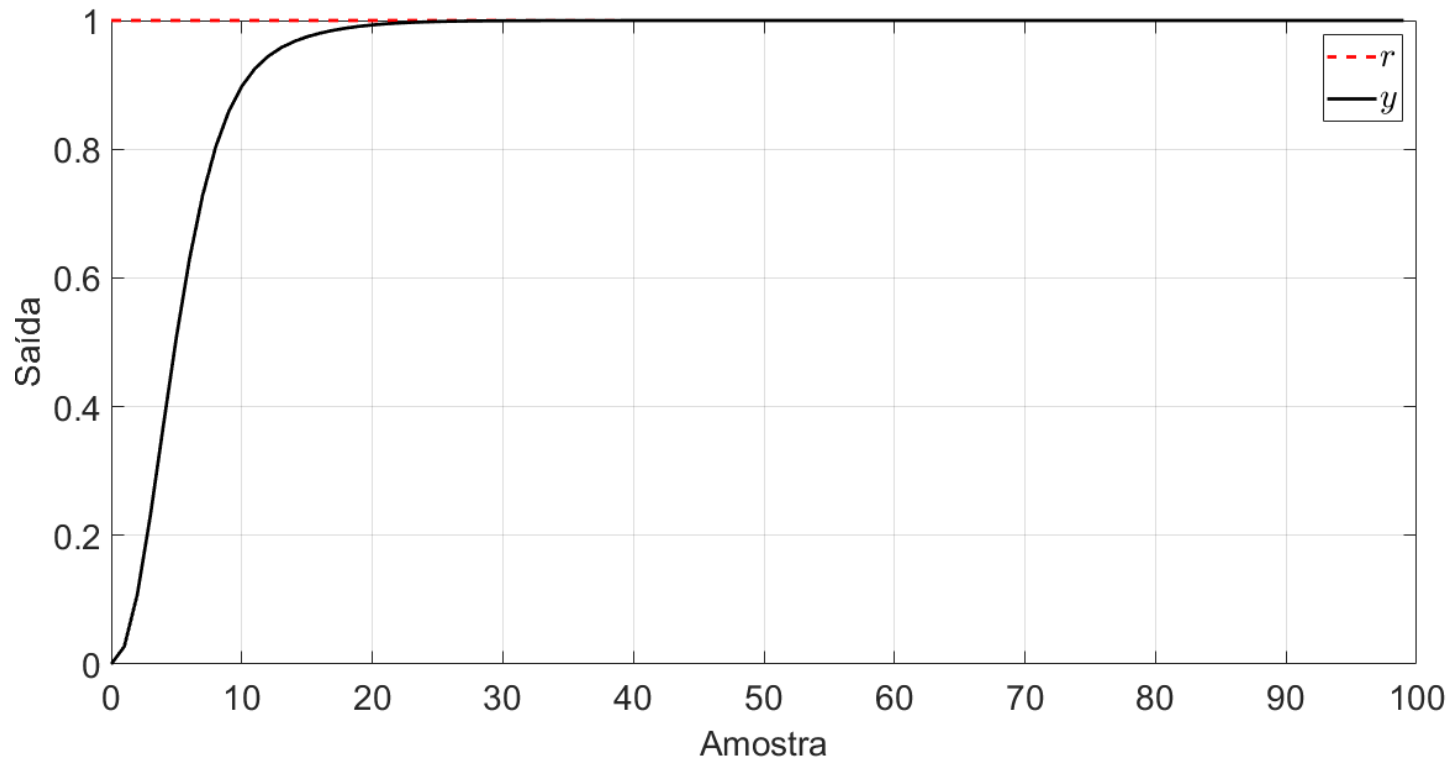
$rw = 20$

Receding Horizon Control



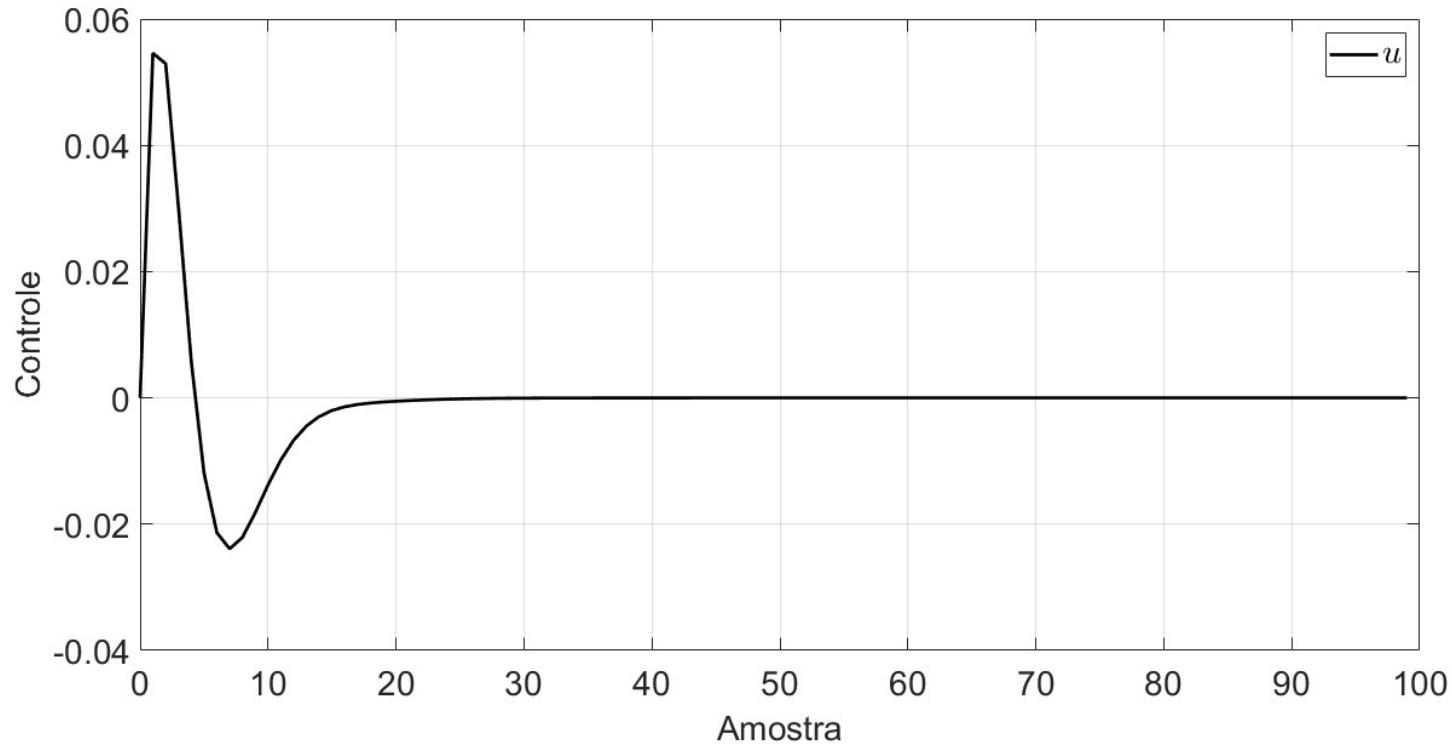
$rw = 20$

Receding Horizon Control



$rw = 200$

Receding Horizon Control



$rw = 200$

Receding Horizon Control

Prática 1



Receding Horizon Control

Projete um RHC para o seguinte sistema

$$\begin{aligned}x_m(k+1) &= ax_m(k) + bu(k) \\ y(k) &= x_m(k),\end{aligned}$$

onde $a = 0,8$ and $b = 0,1$.

A condição inicial é $x(k_i) = [0,1]^T$ e $u(1) = 0$;

Varie a ponderação de r_w , N_c e N_p . Compare os resultados obtidos.

Receding Horizon Control

Prática 2



Receding Horizon Control

Projete um RHC para um motor DC, cujo modelo contínuo é

$$\frac{\omega}{V_a} = \frac{K_t K_v / L_a B}{s^2 + s(B/J + R_a / L_a) + [(R_a B + K_t K_v) / L_a J]}$$

$B = 1.5 \times 10^{-4}$ Nms/rad % Atrito mecânico

$K_v = 0.05$ % Constante de tensão do motor

$J = 2 \times 10^{-5}$ kgm³ % Constante de inércia

Frequência de amostragem: 1 kHz

$R_a = 0.125 \Omega$ % Resistência da armadura

Referência: seno com amplitude 2 e frequência 1 Hz

$L_a = 10$ mH % Indutância de armadura

Obs.: Tensão máxima (u) = 5 V.

$K_t = 0.05$ % Constante de torque do motor

Receding Horizon Control

Prática 3



Receding Horizon Control

Projete um RHC para o controle de potência do núcleo no reator de água pressurizada estações de energia nuclear descrito no artigo:

WANG, Guoxu et al. **State-space model predictive control method for core power control in pressurized water reactor nuclear power stations**. Nuclear Engineering and Technology, v. 49, n. 1, p. 134-140, 2017.

Obs.: utilize um tempo de discretização de $T_s = 1/10$ s.

Próxima aula:

Estimação de estados

Filtro de Kalman

Teoria + Simulações

(aula no laboratório de informática)



Bibliografia Básica

NISE, N. S., **Engenharia de sistemas de controle**, 5ª Edição, LTC, 2009.

OGATA, K., **Engenharia de controle moderno**, 5ª Edição, Pearson, 2011.

DORF, R. C.; BISHOP, R. H., **Sistemas de controle modernos**, 11ª Edição, LTC, 2009.

SEBORG, D. E.; EDGAR, T. F.; MELLICHAMP, D. A.; DOYLE, F. J., **Process dynamics and control**, 3ª Edition, John Wiley & Sons, 2010.

BAZANELLA, A. S.; GOMES da SILVA Jr., J. M., **Sistemas de controle: princípios e métodos de projeto**, 1ª Edição, Editora UFRGS, 2005.

CHEN, C. T., **Linear system theory and design**, 3ª Edição, Oxford University Press, 1999.



Bibliografia Complementar

CAMACHO E. F. Camacho; BORDONS C. A. Bordons. **Model Predictive Control in the Process Industry**. Springer-Verlag, Berlin, Heidelberg. 1997.

BORRELLI, F., BEMPORAD, A., MORARI, M. **Predictive Control for Linear and Hybrid Systems**. Cambridge: Cambridge University Press. 2017.

